

А.Д. Быков, В.Н. Стройнова*

Температурная зависимость коэффициентов уширения линий поглощения H_2O

Институт оптики атмосферы СО РАН, г. Томск
* Томский политехнический университет

Поступила в редакцию 9.11.2004 г.

Проведен анализ температурной зависимости полуширины линий H_2O . Представлены результаты расчетов коэффициентов уширения линий, принадлежащих четырем колебательно-вращательным полосам, методом Андерсона–Тсао–Карната в интервале температур $200 < T < 800$ К. Приведены расчетные значения коэффициента температурной зависимости полуширины.

Введение

Исследование температурной зависимости полуширин линий поглощения атмосферных газов имеет большое значение с точки зрения различных приложений атмосферной оптики.

Во-первых, температурная зависимость релаксационных параметров контура весьма существенна при исследовании спектров пламен.

Во-вторых, в атмосферных условиях температура изменяется в широких пределах – от 120 до 350 К [1–3] в зависимости от высоты, что необходимо учитывать при расчетах функции пропускания атмосферы. Например, при зондировании атмосферных характеристик на вертикальных и наклонных трассах важно знать зависимость полуширины линии от высоты, а следовательно, от температуры.

В-третьих, водяной пар и углекислый газ являются основными парниковыми газами, влияющими на глобальное изменение климата Земли [2], в связи с чем необходимо исследование температурной зависимости полуширины и сдвигов центров линий H_2O и CO_2 давлением различных буферных газов.

В-четвертых, в настоящее время создаются базы данных спектроскопических параметров (например, HITRAN [4], CDSD-1000 [5]), для которых требуются расчетные значения полуширины при повышенной температуре и коэффициенты ее температурной зависимости.

Целью настоящей работы является анализ температурной зависимости полуширин линий H_2O , обусловленных переходами на высоколежащие колебательные состояния. Получены результаты расчетов полуширин линий H_2O в рамках полуклассической ударной теории уширения (метод ATK), коэффициентов их температурной зависимости для нескольких десятков линий полос $3\nu_1 + \nu_3$, $2\nu_1 + 2\nu_2 + \nu_3$, $2\nu_1 + 2\nu_3$, ν_2 при уширении воздухом, азотом, кислородом и собственным давлением.

1. Анализ температурной зависимости полуширины

В рамках метода ATK полуширина линии γ_{if} определяется следующим образом:

$$\gamma_{if}(b, v) = \frac{n}{c} \sum_j \rho(j) \int_0^{\infty} F(v) v \, dv \left[\frac{b_c^2}{2} + \int_{b_c}^{\infty} S_2(b) b \, db \right]. \quad (1)$$

Здесь i, f – набор колебательных и вращательных квантовых чисел начального и конечного состояний перехода; n – концентрация возмущающих частиц; c – скорость света; $\rho(j)$ – заселенность j -го уровня возмущающей молекулы; $F(v)$ – распределение Максвелла для относительной скорости сталкивающихся частиц; b_c – параметр прерывания; $S_2(b)$ – функция прерывания Андерсона для столкновения с прицельным параметром b и относительной скоростью v . Функция прерывания для столкновений полярной молекулы с неполярной (например, H_2O с N_2) определяется в основном диполь-квадрупольным слагаемым электростатической части межмолекулярного потенциала:

$$S_2(b) = \frac{4}{45} \frac{1}{(h v b^3)^2} \sum_j D(jj' | 2) \times \left\{ \sum_i D(ii' | 1) \phi(k_{ii'jj'}) + \sum_f D(ff' | 1) \phi(k_{ff'jj'}) \right\}. \quad (2)$$

Здесь $D(jj'|2)$ – силы квадрупольных переходов в молекуле N_2 ; $D(ii'|1)$; $D(ff'|1)$ – силы дипольных переходов в молекуле H_2O .

Резонансная функция $\phi(k_{ii'jj'})$ зависит от резонансного параметра $k_{ii'jj'}$, определяемого параметрами столкновения b и v :

$$k_{ii'jj'} = \frac{2\pi c b}{v} (E_i - E_{i'} + E_j - E_{j'}), \quad (3)$$

где $E_i - E_{i'}$, $E_j - E_{j'}$ – разность уровней энергии виртуальных переходов в поглощающей и возмущающей молекулах.

Зависимость γ_{ij} от температуры в (1)–(3) является сложной, и представить ее в явном виде затруднительно. Действительно, прицельный параметр b_0 , определяемый из решения уравнения прерывания, является неявной медленно меняющейся функцией температуры. Резонансная функция дает разные вклады в полуширины при различных температурах вследствие неявной зависимости резонансного параметра от температуры. Важно также учесть явную зависимость полуширины от температуры (1). Возникает необходимость провести общий анализ температурной зависимости γ_{ij} . Концентрация буферных частиц n , средняя скорость относительного движения v , заселенность j -го уровня $\rho(j)$ явно зависят от температуры T :

$$n = \frac{n_0}{T}; v = \sqrt{\frac{8kT}{\pi m}}; \quad (4)$$

$$\rho(j) = \frac{(2j+1)l}{\rho_0} \exp\left(\frac{-E_j}{kT}\right),$$

где k – постоянная Больцмана; m – приведенная масса сталкивающихся частиц; E_j – энергия j -го уровня возмущающей молекулы; $(2j+1)l$ – статистическая сумма; $\rho_0 = \sum_j \exp\{-E_j/kT\}$. Кроме явной зависимости полуширины от температуры (1), существует неявная зависимость. Введем медленно меняющиеся функции температуры $A(T)$, $B(T)$, описывающие неявную зависимость $\text{ReS}_2(b)$ (2) от температуры:

$$A(T) = \alpha \sum_j \rho(j) b_0^2(j, T);$$

$$B(T) = \beta \sum_j \rho(j) b_0^{-4}(j, T) \sum_{j'} D(jj' | 2) \times$$

$$\times \left\{ \sum_{i'} D(ii' | 1) \phi \left(\frac{2\pi cb(j, T) \omega_{ii'ff'}}{v} \right) + (i \rightarrow f) \right\}. \quad (5)$$

Здесь α , β – константы, содержащие молекулярные постоянные и не зависящие от температуры; D – обобщенная сила линии; ϕ – действительная часть резонансной функции для случая диполь–квадрупольного взаимодействия; $A(T)$, $B(T) > 0$. Выделяя из (1) явную зависимость полуширины от температуры, можно записать с учетом (4):

$$\gamma_{if}(T) = \frac{A(T)}{T^{1/2}} + \frac{B(T)}{T^{3/2}}. \quad (6)$$

В [6] предложена степенная аппроксимация температурной зависимости полуширины:

$$\gamma(T) = \gamma(T_0) (T_0/T)^N, \quad (7)$$

где $T_0 = 300$ К; N – коэффициент температурной зависимости полуширины. Если коэффициент N определен для какой-либо линии в температурном интервале $(T + \Delta T)$ экспериментально либо с помощью расчета, то (7) позволяет восстановить значение полуширины $\gamma(T_1)$ вне интервала $(T + \Delta T)$. В [7] предложено использовать экспоненциальную аппроксимацию температурной зависимости полуширины вместо обычной степенной (7).

Значительное влияние на величину полуширины линии оказывают условия резонанса $k_{ii'jj'}$, $k_{ff'jj'} = 0$ для наиболее заселенных уровней поглощающей молекулы. При полном резонансе $k = 0$, $\phi = 1$ и полуширина линии имеет максимальное значение. В условиях полного резонанса прицельный параметр зависит от температуры как $T^{-1/6}$, при этом $\gamma_{ij} \approx T^{-1/6}$. Другой предельный случай связан с отсутствием резонанса, когда прицельный параметр не зависит от температуры и $\gamma_{ij} \approx T^{-1/2}$. В промежуточных случаях, когда $k_{ii'jj'} < k_{ff'jj'} > 0$, температурная зависимость полуширины линии определяется двухчленными формулами (5)–(6). Проведенный анализ показывает, что полуширина линии плавно убывает с ростом температуры.

2. Результаты и обсуждение

В данной работе рассчитана температурная зависимость полуширин линий H_2O полосы v_2 в условиях самошиирения. На рис. 1 представлены результаты расчетов в сравнении с экспериментальными данными [8]. Из рис. 1 видно, что расчетные значения полуширин линий находятся в рамках экспериментальной ошибки для значений температуры $250 < T < 600$ К.

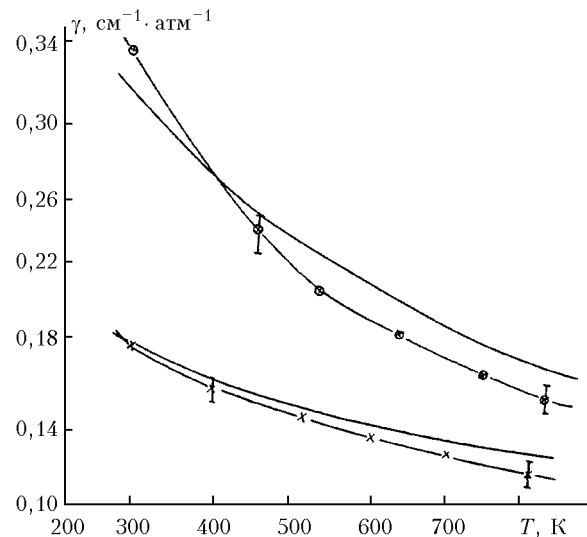


Рис. 1. Температурная зависимость полуширин линий полосы v_2 H_2O при самошиирении: x – линия 7₇₀–8₈₁; o – линия 8₆₃–9₇₂ (эксперимент [8]); — — расчет

При $T < 250$ К расчетные значения полуширины занижены по сравнению с экспериментальными значениями, при $T > 600$ К, наоборот, завышены.

Обнаружено, что увеличение температуры от 250 до 600 К приводит к сужению линии $7_{70}-8_{81}$ на 10%, линии $8_{63}-9_{72}$ – на 25%. Установлено, что расчетное значение коэффициента N температурной зависимости полуширины (7) составляет 0,41 для линии $8_{63}-9_{72}$ и 0,37 для линии $7_{70}-8_{81}$ в температурном интервале $250 < T < 600$ К. Необходимо отметить, что значения N различаются для разных линий полосы v_2 и не совпадают с рекомендованным значением $N = 0,59$ [6].

Результаты расчетов полуширин линий H_2O при уширении воздухом для некоторых линий полосы $3v_1 + v_3$, $2v_1 + 2v_2 + v_3$, $2v_1 + 2v_3$ приведены в таблице вместе с коэффициентами температурной зависимости N .

Коэффициенты N_{exp} (эксперимент [9, 10]) и N_{calc} (данная работа) температурной зависимости полуширин линий H_2O

$J K_a K_c \rightarrow J' K'_a K'_c$	N_{exp}	N_{calc}
Полоса $3v_1 + v_3$		
$5_{32}-4_{31}$	0,64	0,68
$5_{23}-4_{22}$	0,79	0,72
$5_{14}-4_{13}$	0,75	0,69
$5_{24}-4_{23}$	0,63	0,57
$5_{05}-4_{04}$	0,69	0,58
$4_{13}-3_{12}$	0,71	0,70
$4_{23}-3_{22}$	0,74	0,63
$4_{14}-3_{13}$	0,79	0,74
$3_{21}-2_{20}$	0,68	0,67
$3_{12}-3_{11}$	0,76	0,68
$6_{16}-5_{15}$	0,72	0,58
Полоса $2v_1 + 2v_2 + v_3$		
$2_{21}-2_{20}$	0,77	0,72
$5_{41}-5_{42}$	0,52	0,55
$3_{03}-4_{04}$	0,62	0,63
$4_{14}-3_{31}$	0,70	0,68
$4_{14}-5_{15}$	0,61	0,63
$5_{05}-6_{06}$	0,53	0,60
$2_{12}-3_{31}$	0,80	0,77
Полоса $2v_1 + 2v_3$		
$5_{14}-6_{15}$	0,59	0,56
$4_{04}-3_{13}$	0,75	0,74
$5_{14}-4_{23}$	0,61	0,65

Из таблицы видно, что расчетные и экспериментальные [9, 10] значения N хорошо согласуются. Величина коэффициента N_{exp} варьирует от 0,52 до 0,79, уменьшение полуширин линий с ростом температуры может составлять величину до 30% для линий полосы $3v_1 + v_3$. В [9, 10] обнаружено, что линии с малыми значениями вращательного квантового числа имеют малые коэффициенты N . На рис. 2 представлена расчетная температурная зависимость полуширин четырех линий полосы $3v_1 + v_3$ при уширении воздухом. Коэффициенты N для этих линий приведены в таблице. В условиях самоуширения температурная зависимость более сильная, коэффициент N варьирует от 0,35 до 1,06. В [9, 10] приведены формулы, коэффициенты которых определены из подгонки коэффициентов N к экспериментальным значениям полуширин.

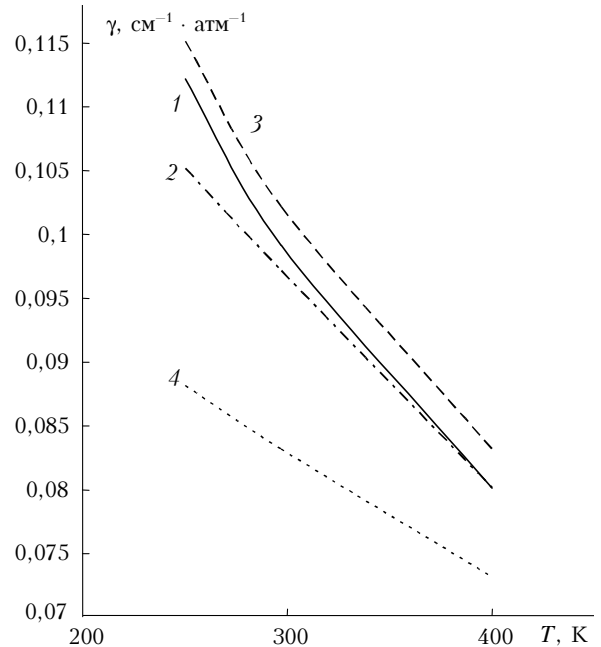


Рис. 2. Температурная зависимость полуширин линий H_2O полосы $3v_1 + v_3$ при уширении воздухом: 1 – линия $5_{23}-4_{22}$; 2 – линия $3_{21}-2_{20}$; 3 – линия $4_{13}-3_{12}$; 4 – линия $6_{16}-5_{15}$

Формулы устанавливают связь между значением полуширины и коэффициентом температурной зависимости при самоуширении N_1 и уширении воздухом N_2 :

$$N_1 = 3,24\gamma_{\text{H}_2\text{O}} - 0,68, \quad (8)$$

$$N_2 = 9,31\gamma_{\text{air}} - 0,15.$$

В работах [11–13] представлены результаты расчетов полуширин линий H_2O и CO_2 при разных температурах методом Робера–Бонами в сравнении с экспериментальными данными. Результаты расчетов коэффициента температурной зависимости также хорошо согласуются с экспериментально определенным N для интервала температур $160 < T < 600$ К. В данной работе и в [13] обнаружено, что при более низких и более высоких температурах расчеты методами АТК и Робера–Бонами полуширин линий H_2O и CO_2 с большими значениями вращательного квантового числа приводят к большим ошибкам и степенная аппроксимация (7) плохо восстанавливает полуширины линий. При $T < 160$ К результаты расчетов занижены по сравнению с экспериментальными данными, при $T > 600$ К, наоборот, завышены.

Заключение и выводы

В данной статье проведены расчеты полуширин линий H_2O полос v_2 , $3v_1 + v_3$, $2v_1 + 2v_2 + v_3$, $2v_1 + 2v_3$ при уширении воздухом, азотом, собственным давлением при разных температурах. Результаты расчетов полуширин методом АТК, сравнение с экспериментальными данными, анализ расчетов методом Робера–Бонами показали, что степенная

аппроксимация температурной зависимости полуширины позволяет правильно восстанавливать ее температурную зависимость в интервале $200 < T < 600$ К для средних значений квантового числа J . Установлено, что метод АТК, аккуратно учитывающий внутримолекулярные взаимодействия и колебательный эффект, позволяет правильно рассчитывать полуширины линий H_2O в температурном интервале $200 < T < 600$ К.

1. Зуев В.Е., Комаров В.С. Статистические модели температуры и газовых компонент атмосферы. Л.: Гидрометеонзат, 1986. 172 с.
2. Зуев В.Е., Титов Г.А. Оптика атмосферы и климат. Томск: ИОА СО РАН, 1996. 271 с.
3. Anderson G., Clough S., Kneizys F., Chetwynd J., Shettle E. AFGL Atmospheric Constituent Profiles (0–120 km). Air Force Geophysics Laboratory, AFGL-TR-86-0110, Environ. Res. Paper. 2001. N 954. 25 p.
4. Rothman L.S., Jacquemart D., Barbe A., Chris Benner D., Birk M., Brown L.R., Carleer M.R., Chackerian C., Jr., Chance K., Dana V., Devi V.M., Flaud J.-M., Gamache R.R., Goldman A., Hartmann J.-M., Jucks K.W., Maki A.G., Mandin J.-Y., Massie S.T., Orphal J., Perrin A., Rinsland C.P., Smith M.A.H., Tennyson J., Tolchenov R.N., Toth R.A., Vander Auwera J., Varanasi P., Wagner G. The HITRAN 2004. Molec. Spectrosc. Database // J. Quant. Spectrosc. and Radiat. Transfer. 2004 (accepted).
5. Tashkun S.A., Perevalov V.I., Teffo J.L., Bykov A.D., Lavrentieva N.N. CDSD-1000, high temperature carbon dioxide spectroscopic databank // J. Quant.

A.D. Bykov, V.N. Stroinova. Temperature dependence of the broadening coefficients of H_2O absorption lines.

The temperature dependence of H_2O halfwidths is analyzed. The calculated results for the halfwidths of the lines, belonging to four rovibrational bands, are presented within the temperature range $200 < T < 800$ K. The Anderson–Tsao–Curnutte technique was used to calculate H_2O halfwidths. The calculated temperature coefficients for H_2O halfwidths are presented.

- Spectrosc. and Radiat. Transfer. 2003. V. 82. P. 165–196.
- Benedict W.S., Kaplan L.D. Calculations of line widths in $\text{H}_2\text{O}–\text{N}_2$ collisions // J. Chem. Phys. 1959. V. 30. P. 388–399.
- Gamache R.R., Rothmann L.S. Temperature dependence of N_2 -broadened halfwidths of water vapor: the pure rotation and v_2 bands // J. Mol. Spectrosc. 1988. V. 128. P. 360–369.
- Bauer A., Godon M., Knedler M. et al. Temperature and perturber dependences of water vapour 380 GHz-line broadening // J. Quant. Spectrosc. and Radiat. Transfer. 1987. V. 37. P. 531–539.
- Grossmann B.E., Browell E.V. Water vapour line broadening and shifting by air, nitrogen, oxygen, and argon in the 720 nm wavelength region // J. Mol. Spectrosc. 1989. V. 138. P. 562–595.
- Grossmann B.E., Browell E.V. Spectroscopy of water vapor in the 720-nm wavelength region: line strengths, self-induced pressure broadenings and shifts, and temperature dependence of linewidths and shifts // J. Mol. Spectrosc. 1989. V. 136. P. 264–294.
- Godon M., Bauer A. Helium-broadened widths of the 183 GHz lines of water vapour // Chem. Phys. Lett. 1988. V. 147. P. 189–191.
- Godon M., Bauer A., Knedler M., Hartmann J.-M. Temperature and perturber dependences of water vapour line broadening. Experiments at 183 GHz. Calculations below 1000 K // J. Quant. Spectrosc. and Radiat. Transfer. 1989. V. 41. P. 49–54.
- Buldyreva J., Chrysos M. Semiclassical modeling of infrared pressure-broadened linewidths: a comparative analysis in CO_2 –Ar at various temperatures // J. Chem. Phys. 2001. V. 115. P. 7436–7441.